материалы электроники

О. Ю. НАЛИВАЙКО, к. т. н. А. С. ТУРЦЕВИЧ

Республика Беларусь, г. Минск, НПО «Интеграл» E-mail: aturtsevich@integral.by

Дата поступления в редакцию 26.08 2009 г.

Оппонент *д. ф.-м. н. Н. И. КЛЮЙ* (ИФП им. В. Е. Лашкарёва, г. Киев)

АДСОРБЦИОННО-КИНЕТИЧЕСКАЯ МОДЕЛЬ ОСАЖДЕНИЯ ПЛЕНОК ПОЛИКРИСТАЛЛИЧЕСКОГО КРЕМНИЯ, ЛЕГИРОВАННЫХ ФОСФОРОМ В ПРОЦЕССЕ РОСТА

Определена область оптимальных соотношений потоков PH_3/SiH_4 и температуры осаждения, обеспечивающих приемлемую скорость и однородность осаждения, высокий уровень легирования и конформное заполнение топологического рельефа пленками $\Pi K \Pi \Phi$.

Пленки поликристаллического кремния (ПК), получаемые при пониженном давлении, широко используются в технологии изготовления активных и пассивных элементов интегральных микросхем [1—4]. Большой интерес вызывает процесс осаждения пленок поликристаллического кремния с одновременным его легированием [2-8]. Однако, несмотря на большое количество публикаций о процессе осаждения и свойствах пленок ПК, легированных в процессе роста фосфором (ПКЛФ), сведения о кинетике их осаждения при пониженном давлении являются недостаточно полными. Полученные в ряде работ аналитические выражения на основе предположений о гетерогенности реакции и адсорбции Ленгмюра не позволяют количественно описать зависимости скорости осаждения ПКЛФ от парциальных давлений моносилана и фосфина [9, 10]. С другой стороны, как показано в [11], модель Ленгмюра непригодна для описания адсорбции большинства газов на реальной поверхности твердого тела.

Настоящая работа посвящена исследованию кинетики процессов осаждения нелегированных пленок ПК и пленок ПК, легированных в процессе роста фосфором, в горизонтальном реакторе пониженного давления с горячими стенками.

В качестве подложек использовались кремниевые пластины диаметром 100 мм с ориентацией (100) и удельным сопротивлением 12 Ом·см, легированные бором, на которых предварительно выращивался термический окисел кремния толщиной 42,5±2,5 нм. В качестве реагентов использовались концентрат моносилана и газовая смесь фосфина с аргоном электронного класса чистоты. Температура осаждения изменялась от 560 до 650°С. Температурный профиль поддерживался с точностью ± 1 °С. Рабочее давление P_{Σ} изменялось в диапазоне 33,25—49,9 Па. При осаждении ПК без легирования парциальное давление моносилана (P_{SiH4}) изменялось путем добавления в га-

зовую смесь азота. При осаждении пленок ПК, легируемых в процессе роста фосфором, соотношение потоков $\mathrm{PH_3/SiH_4}$ (γ) изменялось от 0,001 до 0,012 путем изменения потока смеси фосфина с аргоном. Для повышения однородности толщины и удельного сопротивления пленок ПКЛФ использовались кварцевые кассеты специальной конструкции. Загрузкавыгрузка подложек — бесконтактная с использованием консоли из карбида кремния. Толщина осажденных пленок определялась при помощи спектрофотометра MPV-SP «Leitz».

Для описания кинетики роста нелегированных пленок ПК, полученных пиролизом концентрированного моносилана, наиболее полно подходит адсорбционно-кинетическая модель, предложенная в [12, 13], которая базируется на следующих допущениях:

- химическая реакция осаждения ПК является гетерогенной реакцией 1-го порядка;
- реакции в газовой фазе не рассматриваются, т. к. их роль в используемых практически диапазонах давления и температуры ничтожно мала;
- при соударении с поверхностью молекула может оказаться в слабосвязанном (подвижном) предсорбционном состоянии, в котором она диффунди-



Рис. 1. Блок-схема химического осаждения пленок ПК из газовой фазы

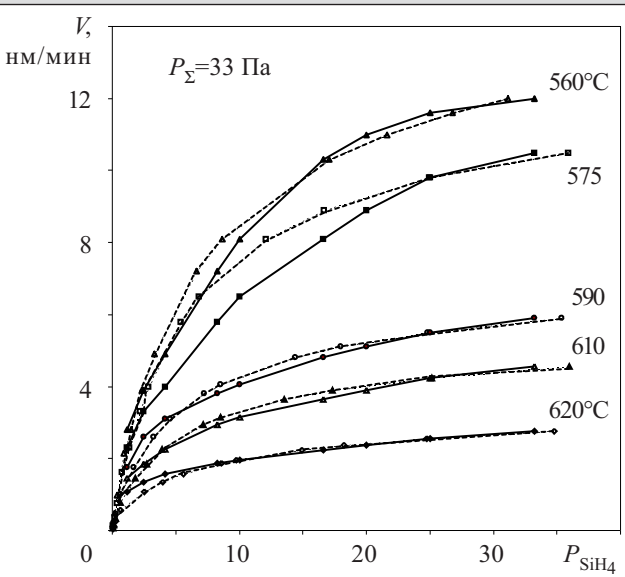


Рис. 2. Зависимости скорости осаждения нелегированных пленок ПК от парциального давления моносилана при различных температурах осаждения (сплошные — эксперимент; пунктир — расчет)

рует до тех пор, пока не хемосорбируется или не десорбируется.

Блок-схема химического осаждения из газовой фазы пленок поликристаллического кремния представлена на **рис. 1** [3, с. 4], а зависимости скорости осаждения нелегированных пленок ПК от парциального давления моносилана — на **рис. 2**. Здесь видно, что скорость осаждения монотонно возрастает с увеличением температуры и $P_{\rm SiH4}$.

Для гетерогенной реакции 1-го порядка скорость роста пленки может быть выражена как

$$V=K\Theta n_0,$$
 (1)

где К — константа скорости гетерогенной реакции;

 n_0 — концентрация адсорбционных центров на поверхности;

 Скорость роста пленки, выраженная в количестве атомов кремния, осажденных на площадь 1 см² за 1 с;

 θ — степень заполнения адсорбционных центров.

Степень заполнения адсорбционных центров моносиланом определяется выражением

$$\theta = \alpha \tau S/n_0;$$
 (2)

где
$$\alpha = P_{\Sigma}/(2\pi mkT)^{1/2} = \gamma P_{\Sigma},$$
 (3)

 число ударов молекул реагента о поверхность единичной площади в единицу времени;

 т — среднее время пребывания молекул моносилана на поверхности:

 S — вероятность «прилипания» молекулы моносилана к поверхности:

т — масса молекулы моносилана;

k — постоянная Больцмана;

T — температура газа.

Пронормировав уравнение (1) на начальную вероятность прилипания S_0 и учитывая формулы (2) и (3), получим

$$V = \beta P S / S_0, \tag{4}$$

где $\beta = K\gamma \tau S_0$ — константа, которая не зависит от давления моносилана, а S зависит от степени заполнения поверхности, определяемой процессами адсорбции-десорбции молекул моносилана и водорода, являющегося продуктом химической реакции.

При малых θ вероятность прилипания не зависит от θ , а при достаточно больших θ она резко уменьшается и становится бесконечно малой вблизи насыщения поверхности. Модели, основанные на представлениях Ленгмюра, не позволяют объяснить подобные зависимости. В [11, с. 313—326] предложена модель адсорбции, учитывающая поверхностную диффузию и взаимодействие адсорбированных молекул. Такая модель позволяет качественно и количественно описать экспериментальные зависимости вероятности прилипания от коэффициента заполнения.

Для диссоциативной адсорбции с возможной адсорбцией фрагментов молекул без учета взаимодействия «адсорбат — адсорбат» [11] зависимость $S(\theta)$ может быть представлена выражением

$$S/S_{0} = \left[1 + K_{1} \left(\frac{1}{(1-\theta)^{2}} - 1\right)\right]^{-1},$$
(5)

где
$$K_1 = k_d/(k_a + k_d) = 1 - S_0/C;$$
 (6)

 k_d и k_a — константы скорости десорбции и адсорбции на хемосорбционных центрах;

С — коэффициент конденсации.

При малых давлениях θ <<1, S/S_0 =1, поэтому зависимость скорости осаждения от давления линейная. По тангенсу угла наклона линейных участков зависимостей $V(P_{\mathrm{SiH_4}})$ (рис. 2) были определены численные значения β для различных температур осаждения T_{oc} нелегированных пленок ПК при суммарном давлении 33,25 и 49,9 Па (см. **табл. 1**). Подставляя эти значения β в уравнение (4), можно рассчитать соответствующие величины S/S_0 .

Таблица 1 Значения констант, характеризующих процесс осаждения пленок ПК

| T _{oc} , °C | K , c^{-1} | K_1 | τS_0 , 10^{-15} c | β , $10^{23} \text{H}^{-1} \text{c}^{-1}$ | | |
|--------------------------------|----------------|-------|---------------------------|--|--|--|
| при Р _∑ =33,25 Па | | | | | | |
| 560 | 0,44 | 1,47 | 10,77 | 0,764 | | |
| 575 | 0,67 | 0,8 | 9,411 | 1,007 | | |
| 590 | 0,88 | 0,8 | 8,97 | 1,25 | | |
| 610 | 1,5 | 0,47 | 7,01 | 1,67 | | |
| 620 | 1,9 | 0,67 | 6,576 | 1,944 | | |
| 650 | 4,29 | 1,01 | 5,07 | 3,33 | | |
| при $P_{\Sigma}\!\!=\!\!49$ Па | | | | | | |
| 560 | 0,45 | 1,53 | 12,21 | 0,8854 | | |
| 575 | 0,69 | 0,82 | 10,4 | 1,146 | | |
| 590 | 0,93 | 0,8 | 9,76 | 1,438 | | |
| 610 | 1,585 | 0,54 | 7,895 | 1,958 | | |
| 620 | 2,06 | 0,67 | 7,473 | 2,396 | | |
| 650 | 4,33 | 1,06 | 5,736 | 3,802 | | |

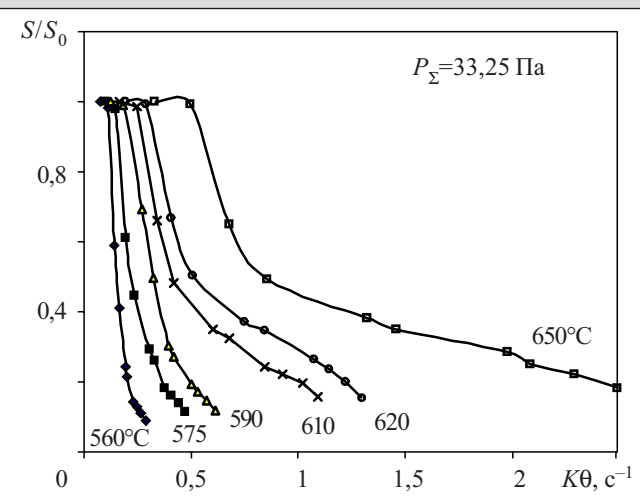


Рис. 3. Зависимости S/S_0 от $K\theta$ при различных температурах осаждения

С другой стороны, принимая величину n_0 , равной поверхностной плотности атомов кремния $(8\cdot 10^{14}~{\rm cm}^{-2})$, можно определить величину $K\theta$ и построить зависимость $S/S_0=f(K\theta)$, иллюстрирующую изменение вероятности прилипания по мере роста степени заполнения поверхности осаждения, т. к. при фиксированной температуре K=const. Такие зависимости для различных температур осаждения при суммарном давлении 33,25 Па приведены на **рис. 3**. Здесь видно, что увеличение температуры осаждения приводит к смещению кривых в сторону увеличения величины $K\theta$ и более пологой форме нисходящего участка. Зависимости $S/S_0=f(K\theta)$ при $P_{\Sigma}=49$,9 Па имеют аналогичный вид.

Полученные данные свидетельствуют о том, что при низких температурах с увеличением парциального давления моносилана степень заполнения поверхности изменяется довольно быстро, при этом вероятность прилипания быстро уменьшается, т. е. с увеличением $P_{\rm SiH4}$ скорость осаждения быстро достигнет насыщения, что и наблюдается на практике. При более высоких температурах степень заполнения поверхности с увеличением парциального давления моносилана изменяется медленнее, соответственно медленнее уменьшается вероятность прилипания и более плавно достигается выход скорости осаждения на насышение.

Для оценки механизма адсорбции при различных потоках моносилана использовалась корреляционная зависимость двух вспомогательных функций, определяемых из экспериментальной зависимости $V_3(P_{\rm SiH_4})$ по методике, предложенной в [14]:

$$x=1/V_{9}; (7)$$

$$y = V_{\gamma}/(\beta P - V_{\gamma}). \tag{8}$$

Для всех исследованных значений температуры и давления эти зависимости носят нелинейный характер, следовательно адсорбция — диссоциативная, т. е. при ней происходит диссоциация молекулы моносилана на SiH_2 (ад) и H_2 , каждая из которых занимает свой адсорбционный центр.

Значения K и K_1 для соответствующих температур и давлений были определены методом наименьших квадратов с использованием уравнений (1), (4), (5) и экспериментальных зависимостей $V_9(P_{\rm SiH4})$. Значения τS_0 рассчитывались при помощи уравнений (3) и (4). Из табл. 1 видно, что при увеличении температуры осаждения величины K, β и τS_0 возрастают, в то же время для величины K_1 не было обнаружено систематических изменений. С увеличением общего давления в реакторе наблюдается возрастание величин K, β и τS_0 .

Теоретические зависимости $V_{\rm T}(P_{\rm SiH4})$ были построены следующим образом. Скорость осаждения рассчитывалась по заданному значению θ из уравнения (1), а давление определялось из уравнения изотермы адсорбции, полученного путем сопоставления правых частей уравнений (1) и (4) с учетом уравнения (5):

$$P = \frac{n_0 \theta}{\gamma \tau S_0} \left[1 + K \frac{\theta (2 - \theta)}{(1 - \theta)^2} \right]. \tag{9}$$

Как видно из рис. 2, полученные теоретические кривые хорошо согласуются с экспериментальными данными.

Наличие легирующих добавок существенно изменяет кинетику осаждения пленок поликристаллического кремния. Скорость осаждения при введении PH₃, AsH₃ уменьшается [15]. Фарроу [9] считает, что замедление вызвано адсорбцией лигатуры на активных центрах поверхности. Хиштман [10] с помощью модели Сето описал механизм реакции и зависимость скорости осаждения ПКЛФ, используя кинетику Ленгмюра—Хиншельвуда. Авторы [16] Ю и Мейерсон считают, что падение скорости осаждения пленок поликристаллического кремния при одновременном его легировании фосфором происходит вследствие блокирования активных центров. Фосфин хорошо адсорбируется кремнием, а отделение водорода от фосфи-

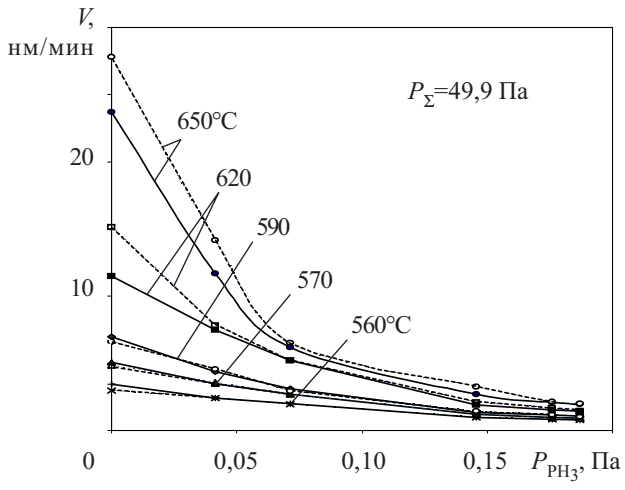


Рис. 4. Зависимости скорости осаждения пленок ПКЛФ от парциального давления фосфина при различных температурах осаждения

(сплошные — эксперимент; пунктир — расчет)

на еще больше увеличивает содержание фосфора, блокирующего адсорбцию моносилана.

Из представленных на **рис. 4** зависимостей видно, что при температурах 620 и 650°C наблюдается резкое уменьшение скорости осаждения с увеличением парциального давления фосфина. При температурах же 560-590°C с увеличением $P_{\rm PH_3}$ скорость осаждения уменьшается не так сильно, а при больших значениях $P_{\rm PH_3}$ она лишь незначительно отличается от скорости осаждения при температурах 620 и 650°C. Все это свидетельствует о конкурентном характере адсорбции моносилана и фосфина одними и теми же центрами [8].

При осаждении ПКЛФ в системе «концентрированный моносилан — фосфин» уравнения (1)—(4) остаются справедливыми [12]. Однако величина S/S_0 в этом случае будет зависеть от суммарной степени заполнения поверхности θ_{Σ} молекулами моносилана и фосфина (при этом предполагается, что и моносилан и фосфин адсорбируются одними и теми же центрами):

$$S / S_0 = \left[1 + K_1 \left(\frac{1}{\left(1 - \theta_{\Sigma} \right)^2} - 1 \right) \right]^{-1}. \tag{10}$$

Значения θ_{Σ} и θ можно определить по экспериментальной зависимости $V(P_{\text{PH}_3})$ (рис. 4), используя формулы (1)—(4), (19) и значения K, K_1 и β для соответствующей температуры (см. табл. 1). Степень заполнения поверхности фосфином θ_{PH_3} равна разности между θ_{Σ} и θ_{SiH_4} . Типичные зависимости θ_{Σ} , θ_{SiH_4} , θ_{PH_3} от P_{PH_3} представлены на **рис.** 5. Расчеты показывают, что при T_{oc} =590°C начиная уже с P_{PH_3} ≈0,1 Па значение суммарной степени заполнения адсорбционных центров определяется в основном адсорбцией фосфина. С увеличением температуры до 650°C это давление снижается до 0,05 Па.

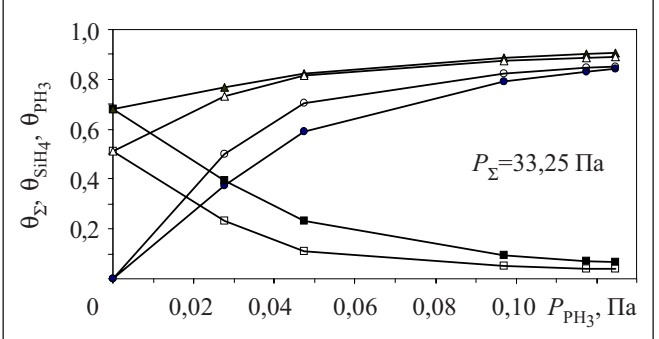


Рис. 5. Зависимости θ_{Σ} , θ_{SiH_4} , θ_{PH_3} от парциального давления фосфина при двух значениях температуры осаждения:

В то же время для θ_{PH_3} справедливы соотношения [11]

$$\theta_{\text{PH}_3} = \beta' P_{\text{PH}_3} S' / S'_{0}; \tag{11}$$

$$\beta' = \gamma' \tau' S'_0 / n_0; \tag{12}$$

$$\gamma = (2\pi m_{\text{PH}_3} kT)^{1/2},\tag{13}$$

где τ' — среднее время пребывания молекул фосфина на поверхности;

S'— вероятность прилипания молекулы фосфина к поверхности;

 S_0' — начальная вероятность прилипания;

 m_{PH_3} — масса молекулы фосфина.

Величину β' определяли по тангенсу угла наклона линейного участка зависимости $\theta_{PH_3}(P_{PH_3})$. Линейные зависимости наблюдаются при парциальных давлениях фосфина менее 0,03 Па, т. к. использовался сильно разбавленный фосфин. Полученные значения β' приведены в **табл. 2**.

Таблица 2 Значения констант, характеризующих процесс осаждения пленок ПКЛФ

| T, °C | β′ | K_1' | $\tau S_0'$, 10^{-3} c | | | |
|---|--------|---------------|---------------------------|--|--|--|
| при P_{Σ} =33,25 Па, $P_{\mathrm{PH_3}}$ =0,02771—0,12469 Па | | | | | | |
| 650 | 18,07 | 0,00770,02 | 9,716 | | | |
| 620 | 15,358 | 0,0030,0083 | 8,1228 | | | |
| 590 | 13,467 | 0,0025—0,0089 | 7,002 | | | |
| 575 | 11,798 | 0,00220,0065 | 6,08 | | | |
| 560 | 8,075 | 0,0010,0033 | 4,1248 | | | |
| при P_{Σ} =49,9 Па, P_{PH_3} =0,04158—0,18713 Па | | | | | | |
| 650 | 11,675 | 0,0066—0,0148 | 6,272 | | | |
| 620 | 10,388 | 0,007-0,009 | 5,494 | | | |
| 590 | 7,251 | 0,0010,0074 | 3,77 | | | |
| 575 | 6,079 | 0,0026—0,0056 | 3,133 | | | |
| 560 | 4,427 | 0,0021—0,0059 | 2,261 | | | |

Зависимость S' от $\theta_{\text{PH}3}$ можно описать уравнением (5), заменив K_1 на K_1' — константу, характеризующую процесс адсорбции молекул фосфина [12]. Для недиссоциативной адсорбции [11, с. 319] уравнение (11) преобразуется во вспомогательную функцию

$$z=K_1/(1-\theta_{\Sigma})-K_1$$

И

$$z = \beta' P_{\text{PH}_2} / \theta_{\text{PH}_3} - 1. \tag{14}$$

Зависимости z от $(1-\theta_{\Sigma})$ для каждой из исследованных температур при значениях суммарного давления 33,25 и 49,9 Па были построены с использованием соответствующих значений β' и расчетных зависимостей θ и θ_{PH_3} от P_{PH_3} . Все они имеют нелинейный характер, что свидетельствует о неприменимости модели недиссоциативной адсорбции для описания адсорбции молекул фосфина. Затем при помощи уравнений (10)—(13) были рассчитаны значения K_1' и $\tau'S'_0$ для исследованных температур и давлений осаждения пленок ПКЛФ (см. табл. 2).

Как видно из табл. 2, при увеличении температуры осаждения возрастают значения β' и τS_0 , а величина K_1' систематических изменений не имеет. В то же время наблюдается увеличение K_1' с ростом парциального давления фосфина. При увеличении суммарного давления значения β' и $\tau S_0'$ уменьшаются.

Так как K_1 '<<1, коэффициент адсорбции фосфина намного больше коэффициента его десорбции, а энергия хемособрбции молекул фосфина очень мала.

Теоретические зависимости $V(P_{\mathrm{PH_3}})$, представленные на рис. 4, были получены для P_{Σ} =49,9 Па с использованием уравнений (1), (4), (10)—(13). Видно, что они хорошо аппроксимируют экспериментальные значения скорости осаждения. Аналогичные результаты были получены и при P_{Σ} =33,25 Па.

При практической реализации процесса осаждения ПКЛФ к нему предъявляются следующие основные требования: приемлемая скорость осаждения; однородность толщины пленки по пластине и по процессу; достижение требуемого удельного сопротивления (уровня легирования) и его однородности; конформное заполнение топологического рельефа. В [4, 7] показано, что уровень легирования, приемлемый в большинстве случаев применения пленок ПК (<1000 мкОм·см), достигается при температуре осаждения 590°С и ниже. Для более высоких температур наблюдается возрастание удельного сопротивления, а также усиление его зависимости от соотношения объемных потоков PH₃/SiH₄.

Для высоколегированного ПКЛФ допустимо пренебречь шириной обедненной зоны на границах зерен, и тогда сопротивление ПКЛФ можно представить как сумму сопротивлений собственно зерен (кристаллитов) и сопротивлений их границ [4, с. 76]. Пленки ПКЛФ, осажденные при температурах 590°C и ниже, после отжига имеют больший размер зерен, чем осажденные при более высоких температурах, следовательно, возможно достижение более низких удельных сопротивлений. Кроме того, высота микронеровностей пленок ПКЛФ, осажденных при $T_{\rm oc}$ ≤590°С, не превышает 0,05 мкм, в то же время высота микронеровностей пленок, выращенных при T_{oc} ≥620°С, достигает 0,15 мкм и более [4, 7]. Снижение шероховатости поверхности пленок поликристаллического кремния очень важно для СБИС и УБИС.

В [4, 17] показано, что с увеличением соотношения потоков у коэффициент заполнения вертикальной ступеньки (K_3) пленками ПКЛФ уменьшается. Так, при $T_{\rm oc}$ =575°C и γ =0,001 K_3 =0,93, при увеличении у до 0,004 коэффициент заполнения составляет не менее 0,8, а при γ =0,012 K_2 =0,58.

В [16] показано, что при температурах более 550°С РН₃ адсорбируется с потерей водорода. В то же время, разложение моносилана может протекать двумя путями: адсорбция и последующее разложение SiH₄ на поверхности или разложение SiH₄ на кзiH₂ (силилен) и последующая его адсорбция и разложение на поверхности. Адсорбция фосфина по сравнению с SiH₄ более предпочтительна, т. к. константа его адсорбции существенно больше [16]. Вероятность блокирования фосфином второго пути осаждения значительно меньше, поскольку SiH₂— ненасыщенный бирадикал, который хорошо адсорбируется поверхностью.

Известно, что на плоской поверхности вклад моносилана в рост пленки уменьшается при возрастании процентного содержания фосфина в газовой фазе

[18]. В самом деле, присутствие фосфора внутри осаждаемой пленки блокирует хемосорбцию химически слабоактивной молекулы моносилана из-за более высокой электроотрицательности фосфора по сравнению с кремнием [18]. Это приводит к большему вкладу силилена в осаждение радикалов и к уменьшению общей скорости осаждения. Моносилан (коэффициент прилипания 10^{-3} [18]) будет равномерно адсорбироваться в любом месте топологического рельефа. С другой стороны, силилен (коэффициент прилипания близок к единице) будет быстро реагировать на плоской поверхности и сильно обедняться на вертикальной ступеньке (или стенке канавки). Поэтому основной вклад в рост пленки ПКЛФ на поверхности вносит силилен, а на стенках топологического рельефа — моносилан.

Таким образом, адсорбционно-кинетическая модель, уточненная для случая «концентрированный моносилан — фосфин», указывает на то, что для достижения приемлемых скоростей и однородности осаждения пленок ПКЛФ нужно обеспечить максимально возможную степень заполнения адсорбционных центров молекулами моносилана. Из приведенных выше данных видно, что на практике целесообразнее работать при температуре ниже 590°C, суммарном давлении порядка 50 Па и P_{PH_2} =0,04—0,07 Па (что соответствует диапазону значений ү=0,001...0,002 при P_{Σ} =50 Па). В таких условиях еще не происходит полного блокирования адсорбции моносилана молекулами фосфина, а кроме того, обеспечивается конформное заполнение топологического рельефа пленками ПКЛФ и достижение высокого уровня легирования пленок (удельное сопротивление ниже 1000 мкОм⋅см).

С использованием разработанных режимов осаждения ПКЛФ были получены структуры конденсаторов этажерочной конструкции. Установленные закономерности роста ПКЛФ могут использоваться также при разработке процессов осаждения на пластинах диаметром 150 и 200 мм как в горизонтальных, так и в вертикальных реакторах пониженного давления.

ИСПОЛЬЗОВАННЫЕ ИСТОЧНИКИ

- 1. Поликристаллические полупроводники / Под. ред. Г. Харбеке.— М.: Мир, 1989.
 - 2. Технология СБИС. Т. 1 / Под. ред. С. Зи. М.: Мир, 1986.
- 3. Kamins T. Polycrystalline silicon for integrated circuits and displays.—Norwell, MA, USA: Kluwer Academic Publishers, 1998.
- Турцевич А. С., Ануфриев Л. П. Пленки поликристаллического кремния в технологии производства интегральных схем и полупроводниковых приборов.— Минск: Белорусская наука, 2006.
- 5. Mulder J. G. M., Eppenda P., Hendrics M., Tong J. E. An industrial LPCVD process for in-situ Phosphorus-Doped polysilicon // J. Electrochem. Soc.— 1990.— Vol. 137, N 1.— P. 273—279.
- 6. Learn A. J., Foster D. W. Deposition and electrical properties of in situ phosphorus-doped silicon films by low-pressure chemical vapour deposition // J. of Applied Physics.— 1987.— Vol. 61, N 5.— P. 1898—1904.
- 7. Lesnikova V. P., Turtsevich A. S., Krasnitsky V. Y. et al. The structure, morphology and resistivity of in situ phosphorus polysilicon films // Thin Solid Films.— 1994.— Vol. 247.— P. 156—161.

- 8. Turtsevich A. S., Krasnitsky V. Y., Emelyanov V. A. et al. The effect of production conditions for in situ phosphorus doped LPCVD polysilicon in monosilane/phosphine system on the deposition process kinetics // Thin Solid Films.— 1994.— Vol. 248.— P. 28—31.
- 9. Farrow R. F. C. The kinetics of silicon deposition on silicon by pyrolysis of silane // J. Electrochem. Soc.— 1974.— Vol. 121, N 7.— P. 899—907.
- 10. Hitchman M. L., Ahmed W. Some recent trends in the preparation of thin layers by low pressure chemical vapour deposition // Vacuum.— 1984.— Vol. 34, N 10-11.— P. 979—986.
- 11. Робертс М., Макки Ч. Химия поверхности раздела металл газ. М.: Мир, 1981.
- 12. Кобка В. Г., Ушанкин Ю. В. Адсорбционно-кинетическая модель процесса осаждения пленок поликристаллического кремния в реакторе пониженного давления // Поверхность. 1986. № 8. С. 87—93.
- 13. Турцевич А. С., Румак Н. В., Наливайко О. Ю., Макаревич И. И. Кинетика роста пленок поликристаллического кремния, полученных пиролизом концентрированного моносилана при пониженном давлении // Электронная техника. Сер. 7.— 1993.— Вып. 4-5.— С. 35—39.

- 14. Сухов М. С. Механизм пиролиза моносилана при пониженном давлении // Известия АН СССР. Сер. Неорганические материалы.— 1982.— Т. 18, № 7.— С. 1077—1082.
- 15. Eversteyn G. C., Put B. H. Influence of AsH_3 , PH_3 and B_2H_6 on the growth rate and resitivity of polycrystalline silicon films deposited from a SiH4-H2 mixture // J. Electrochem. Soc.— 1973.— Vol. 120, N 1.— P. 106—110.
- 16. Yu M. L., Meyerson M. S., Adsorption of PH_3 on Si(100) and its effects on the coadsorption of SiH $_4$ // J. Vac.Sci. and Technology.— 1989.— A2.— N 2.— P. 447—449.
- 17. Турцевич А. С., Гранько В. И., Наливайко О. Ю. Конформность воспроизведения топологического рельефа поверхности интегральных схем при осаждении поликристаллического кремния, легированного в процессе роста фосфором и бором // Электронная техника. Сер. 7.— 1993.— № 4-5.— С. 55—57.
- 18. Gris H., Caussat B., Cot D. et al. LPCVD silicon-based film formation in submicrometer trenches in industrial equipment: experiments and simulation // Chem. Vap. Deposition.— 2002.— Vol. 8, N 5.— P. 213—219.

НОВЫЕ КНИГИ

Рембовский А. М., Ашихмин А. В., Козьмин В. А. Радиомониторинг: задачи, методы, средства.— М.: Горячая линия — Телеком, 2010.— 624 с.

Рассмотрены типовые задачи, решаемые с помощью средств радиомониторинга в самых различных областях — от управления использованием радиочастотного спектра до контроля радиообстановки при проведении контртеррористических

операций. Изложены теоретические и практические вопросы построения и функционирования радиотехнических систем радиомониторинга и технической защиты информации, в том числе автоматизированных стационарных и мобильных систем пеленгования, определения местоположения источников радиоизлучения, измерения параметров сигналов, выявления радиоизлучений и утечек информации, проведения специальных исследований. Рассмотрены математические методы и программное обеспечение для выявления и анализа радиоизлучений, измерения параметров сигналов и помех, напряженности электромагнитного поля или плотности потока мощности, определения положения источников радиосигналов и радиопомех, а также решения других задач радиомониторинга. Про-



анализированы особенности построения современных одноканальных и многоканальных широкополосных цифровых панорамных измерительных радиоприемников и радиопеленгаторов, анализаторов параметров сигналов, в том числе GSM и CDMA. Показано влияние конструктивного исполнения аппаратуры на скорость, чувствительность, помехоустойчивость и точность выполнения измерений. Во втором издании книги добавлены материалы по построению и техническим характеристикам унифицированных измерительных приемников семейства АР-ГАМАК и радиопеленгаторам семейства АРТИКУЛ, по разработкам анализаторов сигналов базовых станций сотовой радиосвязи и интегрированным радионавигационным системам мобильных станций радиомониторинга. Рассмотрены примеры применения средств радиомониторинга для радиочастотной и железнодорожной служб, экологического контроля. Переработан по итогам новых исследований и разработок раздел, посвященный специальным исследованиям ПЭМИН.



Для специалистов в области радиомониторинга, операторов и руководителей радиоконтрольных служб, сотрудников силовых ведомств и служб безопасности государственных и коммерческих структур. Будет полезна студентам и аспирантам.